

# برآورد تبخیر و تعرق واقعی و بهره‌وری آب گندم با استفاده از الگوریتم سیال و تصاویر ماهواره‌ای لندست ۵ در دشت قزوین

**مهدی ملک پور، حسین بابازاده<sup>\*</sup>، فریدون کاوه و نیازعلی ابراهیمی پاک**

دانشجوی دکتری، دانشگاه آزاد اسلامی، واحد علوم و تحقیقات، گروه مهندسی آب، تهران، ایران

m.malekpour61@yahoo.com

دانشیار، دانشگاه آزاد اسلامی، واحد علوم و تحقیقات، گروه مهندسی آب، تهران، ایران

h\_babazadeh@hotmail.com

دانشیار، دانشگاه آزاد اسلامی، واحد علوم و تحقیقات، گروه مهندسی آب، تهران، ایران

fhnkaveh@yahoo.com

دانشیار، مؤسسه تحقیقات خاک و آب، سازمان تحقیقات، آموزش و تربیت کشاورزی، کرج ایران

nebrahimipak@yahoo.com

## چکیده

یغشن کشاورزی بزرگترین مصرف کننده آب شناخته شده است. یا توجه به محدودیت منابع آب لازم است اصلاح بهره‌وری آب در این یغشن صورت گرفته و مفهوم بهره‌وری آب در یغشن کشاورزی در بین سیاستگذاران یغشن آب و غذا در سطح وسیع و در حوضه آبریز دشت ها مورد توجه فرار گشود. سنجش از دور ایزاری است که در دهه‌های اخیر در ارزبایی و مدبربیت آب و خاک مورد استفاده فرار گرفته است. در این تحقیق نیز از این ایزار برای برآورد بهره‌وری آب استفاده شده است. مقادیر تبخیر و تعرق و ماده خشک تولیدی در دشت قزوین با استفاده از الگوریتم سیال و برای ۵ تصویر گرفته شده از ماهواره لندست ۵ محاسبه شد. نتایج اجرای الگوریتم سیال در هر پنج تصویر یا داده‌های لابیومتر ژکش دار موجود در منطقه مورد ارزبایی فرار گرفت که مقدار ضریب تبیین ( $R^2$ ) آنها ۰/۹۹۴۸ و میانگین نفاضل مطلق آنها ۰/۴۴۶ میلی‌متر بر روز یه دست آمد. این نتیجه نشان از دقت مناسب روش سنجش از دور در تخمین تبخیر و تعرق در سطح دشت دارد. علاوه بر این، نتایج نشان داد که بهره‌وری آب در سطح دشت از ۱/۱۸ تا ۱/۳۵ کیلوگرم بر مترمکعب متغیر است. میزان بهره‌وری آب برای گندم در سطح دشت با تصاویر ماهواره‌ای لندست ۵ به طور متوسط ۷۳/۰ کیلوگرم بر مترمکعب و از طریق لابیومتر گندم، ۸۵/۰ کیلوگرم بر مترمکعب به دست آمد که همدیگر را نایبلد می‌کنند.

**واژه‌های کلیدی:** نفاوت نرمال شده شاخص پوشش گباهی، لابیومتر، سنجش از دور.

<sup>1</sup> آدرس نویسنده مسئول: تهران، انتهای اتوبان شهید ستاری، دانشگاه آزاد اسلامی، واحد علوم و تحقیقات، گروه مهندسی آب

\* دریافت: دی ۱۳۹۴؛ پذیرش: آذر ۱۳۹۵

## مقدمه

آب مصرفی با احتساب تلفات آبیاری ( $WP_{ETQ}$ ) و بهره‌وری اقتصادی آب آبیاری ( $WP_g$ ) (مولدن، ۱۹۷۷).<sup>1</sup> سینگ (۲۰۰۵) با استفاده از مدل SWAP کارائی مصرف آب گیاهان زراعی در منطقه سیرسای کشور هندوستان را در مقیاس‌های مختلف و شکل‌های مختلف با استفاده از تصاویر ماهواره‌ای و سامانه اطلاعات جغرافیایی تعیین نمود. حالت‌های کارائی مصرف آب تعیین شده شامل نسبت عملکرد محصول به مقدار آب مصرف شده در فرایند تعرق، تبخیر و تعرق بعلاوه نفوذ عمیق از مزرعه و نشت از کانال‌های انتقال آب بود. در نتایج بدست آمده تغییرات زیادی در مقادیر بهره‌وری آب (WP) گیاهان مختلف مناطق و حتی گیاهان یکسانه در مناطق مختلف وجود داشت. به عنوان نمونه، بهره‌وری آب بر پایه تبخیر و تعرق ( $WP_{ET}$ ) گندم، بین کشاورزان منطقه سیرسا طی سال‌های ۲۰۰۱-۰۲ بین ۱/۵۶ تا ۱/۲۲ متغیر بود.

وظیفه‌دوسن و همکاران (۲۰۰۸) در بررسی بهره‌وری آب کشاورزی در مقیاس مزرعه در منطقه برخوار اصفهان در سال زراعی ۱۳۸۳-۸۴، نشان دادند متوسط بهره‌وری آب برای محصولات چندرتقد، آفتابگردان، ذرت علوفه‌ای و گندم به ترتیب ۰/۹۹، ۰/۲۲، ۰/۴۹ و ۰/۴۹ کیلوگرم بر مترمکعب می‌باشد.

لای و همکاران (۲۰۰۸) مطالعه‌ای با استفاده از تصاویر NOAA و الگوریتم SBBA<sup>2</sup> روى میزان آب مصرفی و بهره‌وری آب گیاه گندم در دشت‌های شمال چین (شامل ۸۳ استان) انجام داد. طبق نتایج بدست آمده خطای نسبی بین مقدار تبخیر و تعرق فعلی با داده‌های لایسیمتری وزنی ۴/۲ درصد می‌باشد. همچنین حداقل و حداقل مقدار بهره‌وری به ترتیب ۱/۶۷ و ۰/۵ کیلوگرم بر هر مترمکعب آب مصرفی بدست آمد.

بخش کشاورزی بزرگترین مصرف کننده آب شناخته شده است. با ادامه افزایش جمعیت، توسعه شهرنشینی و گسترش صنایع تا سال ۲۰۲۵ میزان آب قابل تخصیص به بخش کشاورزی در سراسر دنیا محدودتر خواهد شد. بنابراین اگر میزان سرمایه‌گذاری در مدیریت پایدار منابع آب طی سالیان آینده کاهش یابد، جهان با کاهش چشمگیری در تولید غذا و افزایش قیمت مواد غذایی و بحران‌های فراوانی در بخش محیط‌زیست مواجه خواهد شد. مؤسسه بین‌المللی مدیریت آب<sup>۳</sup> (IWMI) در سال ۲۰۰۱ برای تولید محصولات مختلف و تأمین مواد غذایی دو نظریه متفاوت جهانی را مورد تجزیه و تحلیل قرار داد. بر اساس نظریه اول آب اختصاص یافته به بخش کشاورزی برای تأمین مواد غذایی ضعیف رو به رشد کرده زمین کافی نمی‌باشد و امکان برداشت آب بیشتر از منابع سطح و زیرزمینی حداقل با ۱۱-۱۲ درصد رشد عملی است. نظریه دوم که بیشتر مورد توجه می‌باشد، تأکید بر بهره‌برداری بهینه از منابع آب دارد. طبق این نظریه ضروری است که کارآیی مصرف آب در بخش کشاورزی ( $WP$ ) افزایش یابد. میزان محصول تولید شده به کیلوگرم به ازاء هر مترمکعب آب آبیاری مصرف شده کارائی مصرف آب نامیده می‌شود. با افزایش بهره‌وری آب می‌توان احتیاجات غذایی جمعیت رو به رشد کرده زمین را تأمین کرد. لازم بذکر است بر اساس برنامه چالش جهانی آب و غذا<sup>۴</sup>، بایستی علاوه بر افزایش تولید به ازاء مقدار آب مصرفی، مرجبات بالا بردن وضعیت میثاست اجتماع و بهبود شرایط زیست محیطی را نیز فراهم کرد. بهره‌وری آب به صورت‌های مختلفی ارائه شده است که عبارتند از: بهره‌وری بر پایه تعرق ( $WP_T$ )، بهره‌وری بر پایه تبخیر و تعرق ( $WP_{ET}$ )، بهره‌وری بر پایه

1- International Water Management Institute

2-Water Productivity

3-Challenge Program on Water and Food

زیر کشت کشور را به خود اختصاص می دهد که سهم گندم آبی از این سطح ۳۵ درصد است (اسفندیارپور، ۱۳۹۳). از طرفی بخش عده تولید گندم کشور از اراضی فاریاب تأمین می گردد؛ بنابراین تدوین و تبیین الگوی بهینه مصرف آب به عنوان مهمترین نهاده کشاورزی از جمله شاخص‌های موثر در رسیدن به بهره‌برداری پایدار از منابع آب و خاک به حساب می‌آید. بدین منظور بررسی وضعیت بهره‌وری آب گیاه در گستره‌های کشاورزی و شرایط اقلیمی متفاوت ضروری می‌باشد. هدف از این تحقیق بررسی توزیع زمانی و مکانی بهره‌وری آب گیاه گندم در سطح دشت قزوین با استفاده از تصاویر ماهواره‌ای و مقایسه آن با استانداردهای بین‌المللی می‌باشد.

## مواد و روش‌ها

### منطقه مورد مطالعه

منطقه مورد مطالعه دشت قزوین واقع در استان قزوین می‌باشد که در عرض جغرافیایی<sup>۱۸</sup> ۴۹° تا ۵۰°۴۱' شرقی و<sup>۲۹</sup> ۳۵°۵۷' تا ۳۶°۲۲' شمالی قرار گرفته است. اقلیم منطقه بر اساس اقلیم نمای دومارتن نیمه خشک می‌باشد. متوسط بارندگی سالانه منطقه ۳۴۲ میلی-متر و متوسط تبخیر سالانه ۱۳۵۸ میلی-متر می‌باشد. گیاهان عمدۀ در شبکه آبیاری دشت قزوین گندم، جو، انگور و سورگوم می‌باشد (شکل ۱).

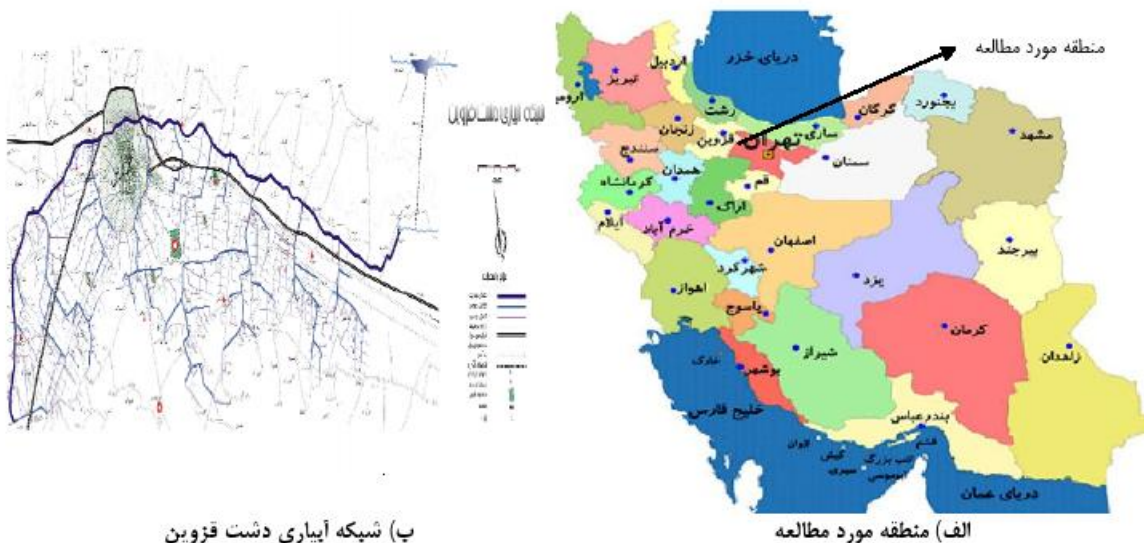
### اطلاعات لایسیمتر

لایسیمتر مورد استفاده از نوع زهکش دار بوده که در مختصات<sup>۲۰</sup> ۴۹°۳۵'۵۴'' شرقی و<sup>۲۴</sup> ۳۶°۱۵'۲۴'' شمالی قرار دارد. ابعاد لایسیمتر ۱/۲×۲/۴ متر مربع و ارتفاع آن ۱/۵ متر می‌باشد. زمان کشت گندم در لایسیمتر دهم مهرماه ۱۳۹۱ او زمان برداشت آن پانزدهم مرداد ماه بود. بذر انتخابی برای کشت در لایسیمتر رقم پیش‌تاز بود که مقدار آن بر اساس توصیه‌های تحقیقاتی ۴۰۰ بذر در واحد سطح در نظر گرفته شد.

زوارت و باستیانسن (۲۰۰۴) مطالعات متعددی با هدف بررسی کارائی مصرف و بهره‌وری آب گیاهان زراعی در نقاط مختلف جهان انجام دادند. نتایج این بررسی‌ها نشان داد در کشور چین بهره‌وری مصرف آب گندم (WP<sub>ET</sub>) طی سال‌های ۱۹۹۶ تا ۲۰۰۳ بین ۰/۸۴ تا ۱/۶۳ کیلوگرم بر مترمکعب می‌باشد. این رقم در هند بین ۰/۶۴ تا ۱/۱۹ و در ترکیه ۱/۲۲ تا ۱/۴۵ کیلوگرم بر مترمکعب گزارش شد. همچنین، بهره‌وری مصرف آب برنج (WP<sub>ET</sub>) در چین ۱/۸۴ تا ۱/۴۱ و در هند ۰/۴۶ تا ۱/۱۵ کیلوگرم بر مترمکعب به دست آمد.

حیدری و همکاران (۱۳۸۴) مقدار بهره‌وری آب بر پایه آب مصرفی در پنج منطقه مهم کشاورزی کشور (کرمان، همدان، مغان، گلستان و خوزستان) را برای گیاهان زراعی، گندم، چغندرقد (شکر تولیدی)، سیب زمینی، ذرت علوفه‌ای، پنبه، یونجه (وزن خشک)، جو، نیشکر (شکر تولیدی) به ترتیب ۰/۷۵، ۰/۶۴، ۰/۵۸، ۰/۵۶، ۰/۷۱، ۰/۲۹ کیلوگرم محصول بر مترمکعب آب مصرفی گزارش کردند. این محققین همچنین توصیه کردند که افزایش آگاهی و مهارت کشاورزان از طریق برنامه‌های مختلف آموزشی و ترویجی (با روش‌های جدید و با در نظر گرفتن پیشرفت‌های اخیر در کشاورزی جهان) از اقدامات مهمی است که باید در برنامه‌های ارتقاء افزایش بهره‌وری آب در نظر گرفته شوند.

آلن و همکاران (۲۰۰۳) در تحقیقی در ایالات متحده در دره رو دخانه بیر با استفاده از الگوریتم سیال به مقایسه نتایج با داده‌های لایسیمتری پرداختند. نتایج نشان داد که مقادیر تبخیر و تعرق ماهانه ۱۶ درصد و مقادیر فصلی ۴/۳ درصد با داده‌های لایسیمتر تفاوت دارد. همچنین، این محققین به وسیله این مقادیر ضرب گیاهی ( $K_c$ ) را در طول فصل رشد توسط تبخیر و تعرق گیاه مرجع ( $ET_r$ ) محاسبه شده توسط داده‌های زمینی محاسبه نمودند. گندم به عنوان مهمترین محصول زراعی ایران به طور متوسط مساحتی معادل ۶/۵ میلیون هکتار از اراضی



شکل ۱ محدوده مورد مطالعه و شبکه آبیاری دشت

تبخیر و تعرق گندم در دوره‌های هفت روزه با توجه به مقادیر آبیاری، آب زهکشی شده و تغییرات رطوبتی خاک محاسبه (رابطه ۱) و در انتهای دوره عملکرد دانه، وزن هزار دانه، تعداد دانه در سنبله، عملکرد بیولوژیکی، تعداد بوته در هر متر مربع و ارتفاع بوته اندازه گیری شد.

$$ETc = I + P - D \pm \Delta S \quad (1)$$

که در آن:

$I$  عمق آب آبیاری،  $P$  بارندگی،  $D$  آب زهکشی،  $\Delta S$  تغییرات رطوبتی در گام زمانی و  $ETc$  تبخیر و تعرق گیاه کشت شده در لایسیمتر است. همچنین کلیه اعداد بر حسب میلی‌متر می‌باشد.

#### تصاویر ماهواره‌ای

داده‌های سنجش از دور که توسط ماهواره برداشت می‌شود این مزیت را دارند که از آنها می‌توان اطلاعات هم‌مانی را در یک منطقه وسیع برداشت کرد. جهت انجام این تحقیق از تصاویر ماهواره لندست ۵ در سال ۱۳۹۲ استفاده گردید. علت انتخاب این ماهواره قدرت تفکیک مکانی متوسط این تصاویر و در دسترس بودن آنها می‌باشد. در این تحقیق از ۱۸ تصویری که در طول فصل رشد گیاه در منطقه اخذ شده بود تنها پنج تصویر (تاریخ‌های ۹۲/۰۲/۳۰، ۹۲/۰۳/۰۷، ۹۲/۰۳/۱۴)

که در نیتروژن از منبع اوره (۶ درصد) به میزان صد کیلوگرم در هکتار بر اساس آزمون خاک محاسبه گردید که از این میزان یک سوم به صورت پایه و مابقی در دو نوبت (اواسط پنجه زمی و پس از مصرف علف کش و اواسط دوره رشد ساقه) به صورت سرک به لایسیمتر داده شد. فسفر و پتاسیم مورد نیاز به ترتیب از منبع سویر فسفات تربیل و سولفات پتاسیم بر مبنای صد کیلوگرم در هکتار  $K_2O$  و  $P_2O_5$  به صورت پایه مصرف گردید. برای کنترل علف‌های هرز باریک برگ و پهن برگ به ترتیب از علفکش تایپیک به میزان یک لیتر در هکتار و گرانستار به میزان ۲۰ گرم در هکتار در اواسط پنجه زمی استفاده شد. بافت خاک داخل درون و اطراف لایسیمتر مانند جنس غالب خاک منطقه لرم رسی (CL) بود و مکش رطوبت خاک همواره توسط تانسیومترهای نصب شده در عمق های ۳۰ و ۶۰ سانتی‌متری کنترل می‌شد. هر وقت قراتات تانسیومتر نصب شده در عمق ۳۰ سانتی‌متری از ۴۰ سانتی‌بار بیشتر می‌شد، آبیاری صورت می‌گرفت. اندازه-گیری‌های لایسیمتر از ۲۰ مهر ماه ۹۱ (۱۲ آکبر ۲۰۱۲) آغاز و تا تاریخ ۲۰ تیر ماه ۹۲ (۱۰ جون ۲۰۱۳) به فواصل هفت روز ادامه داشت. در همین مدت مقدار آب زهکشی شده از لایسیمتر و میزان رطوبت در ابتداء و انتهای هر دوره در اعماق مختلف اندازه گیری می‌شد. نهایتاً مقدار

$$\begin{aligned} R_n &= (1 - \alpha)R_{S\downarrow} + R_{L\downarrow} \\ &- R_{L\uparrow} - (1 - \varepsilon_0)R_{L\uparrow} \end{aligned} \quad (3)$$

که در آن:

$\alpha$  آلیدوی سطح (بدون بعد) و  $\varepsilon_0$  گسیلنگی سطح به دست آمده از طریق شاخص سطح برگ (LAI) می‌باشد. در الگوریتم سبال دو نوع گسیلنگی از سطح استفاده می‌شود که عبارتند از:  $\varepsilon_{NB}$  که برای محاسبه دمای سطح  $\varepsilon_0$  که برای محاسبه تشعشعات طول موج بلند گسیل یافته از سطح استفاده می‌شود. مقادیر  $\varepsilon_{NB}$  و  $\varepsilon_0$  برای شرایطی که شاخص تعديل شده اختلاف پرشیش گیاهی<sup>۱</sup> (NDVI) بزرگتر از صفر باشد از روابط ۴ و ۵ به دست می‌آید (آلن و همکاران ۲۰۰۵):

$$\varepsilon_{NB} = 0.97 + 0.0033 \text{ LAI} \quad \text{LAI} < 3 \quad (4)$$

$$\varepsilon_0 = 0.95 + 0.01 \text{ LAI} \quad \text{LAI} < 3 \quad (5)$$

که در آن:

$\varepsilon_{NB}$  قابلیت انتشار حرارتی سطح (بدون بعد)،  $\varepsilon_0$  قابلیت انتشار تشعشعات طول موج بلند گسیل یافته از سطح (بدون بعد) و LAI شاخص سطح برگ (بدون بعد) می‌باشد. اگر  $LAI \geq 3$  باشد،  $\varepsilon_{NB}$  و  $\varepsilon_0$  برابر با ۰/۹۸ می‌باشد. شاخص سطح برگ<sup>۲</sup> (LAI) با استفاده از رابطه ۶ محاسبه می‌گردد

$$LAI = -\frac{\ln\left(\frac{a-SAVI}{b}\right)}{c} \quad (6)$$

که در آن:

SAVI شاخص تصحیح شده  $SAVI = a \cdot NDVI + b \cdot a \cdot c$  ضرائب ثابت می‌باشند که در هر منطقه باید کالیبره شود. به عنوان نمونه در آیداهوی جنوبی مقادیر  $a$ ,  $b$  و  $c$  به ترتیب برابر با ۰/۰۹۱، ۰/۰۹۰ و ۰/۰۹۰ می‌باشد. مقادیر بدست آمده حاصل از واسنجی در این تحقیق برای منطقه مورد مطالعه به ترتیب ۰/۰۷۳، ۰/۰۷۸ و ۰/۰۹۰ به دست آمد. حداقل مقادیر LAI برابر با ۰/۰ و حداکثر مقادیر SAVI برابر با ۰/۰۸۷ می‌باشد.

۹۲/۰۴/۹۲، ۰۴/۰۰/۹۲ و ۰۶/۰۰/۹۲) قابل استفاده بود. زیرا تصاویر مورد استفاده باید دارای شرایط مناسب هواشناسی ENVI و بدون ابر باشند. در این مطالعه از نرم افزارهای ERDAS Imagine 9.1 و ArcGIS9.3 جهت انجام پردازش‌های تصویری و اجرای الگوریتم سبال و نرم افزار GIS بهره‌وری آب گندم در دشت قزوین در محیط استفاده گردیده است. کلیه اطلاعات مکانی به کمک آمار دریافتی و همچنین بازدیدهای میدانی زمین مرجع<sup>۳</sup> شد. از لازم به ذکر است که مراحل مختلف الگوریتم سبال با استفاده از امکانات Model Maker در نرم افزار ERDAS Imagine 9.1 برنامه‌نویسی شده و الگوریتم سبال برای هر تصویر بعد از انجام اصلاحات مورد نیاز اجرا گردید.

#### الگوریتم سبال

در این الگوریتم با استفاده از معادله توازن انرژی مقدار شار گرمای نهان تبخیر برای هر یکسل از رابطه (۲) به دست می‌آید (bastiansen و hemkaran ۲۰۰۲):

$$\lambda ET = R_n - G - H \quad (2)$$

که در آن:

$\lambda ET$  شار گرمای نهان تبخیر ( $W/m^2$ ),  $R_n$  میزان تابش خالص خورشیدی ( $W/m^2$ ),  $G$  شار گرمای حاک و  $H$  شار گرمای محسوس ( $W/m^2$ ) می‌باشد.

مقدار تابش خالص از توازن چهار شار تابشی در سطح زمین به دست می‌آید که عبارتند از تابش طول موج کوتاه ورودی ( $R_{S\downarrow}$ ), بازتابش طول موج کوتاه خروجی ( $R_{S\uparrow}$ ), تشعشعات طول موج بلند ورودی به اتمسفر ( $R_{L\downarrow}$ ) و تشعشعات طول موج بلند گسیل شده از سطح ( $R_{L\uparrow}$ ). تابش خالص با استفاده از رابطه ۲ محاسبه می‌شود (bastiansen و hemkaran ۱۹۹۸):

2- Normalized Difference Vegetation Index  
3- Leaf Area Index

1- GeoReference

(۲۰۰۶).  $WDVI$  شاخص وزنی (مادون قرمز نزدیک) اختلاف پوشش گیاهی<sup>۱</sup> و  $\alpha$  برابر با شیب خاک بوده که مقدار آن برابر با  $1/6$  می‌باشد.

در این مطالعه برای محاسبه آلیدوی سطح از روشنی که تصحیحات اتمسفری را برای هر باند از سنجنده اعمال می‌کند استفاده شده است (آلن و همکاران، ۲۰۰۵). آلیدوی سطح با استفاده از روابط ۱۱ و ۱۲ بدست می‌آید.

$$\alpha = (\alpha_{\text{toa}} - \alpha_{\text{path-radiance}}) / \tau_{\text{sw}} \quad (11)$$

$$\tau_{\text{sw}} = 0.75 + (2 \times 10^{-5} \times Z) \quad (12)$$

که در آن:

$\alpha_{\text{toa}}$  مقدار آلیدو در بالای اتمسفر،  $\tau_{\text{sw}}$  ضریب انتقال اتمسفر،  $Z$  ارتفاع از سطح دریا (m) و  $\alpha_{\text{path-radiance}}$  میانگین نسبت تشعشع ورودی خورشید در تمام باندها که به سمت ماهواره بر می‌گردد قبل از اینکه به سطح زمین برسد که در الگوریتم سیال مقدار آن  $0/03$  در نظر گرفته می‌شود (bastiansen, ۲۰۰۰).

مقدار آلیدو در بالای اتمسفر با استفاده از روابط ۱۳ تا ۱۵ به دست می‌آید (bastiansen و همکاران، ۲۰۰۲):

$$\alpha_{\text{toa}} = \sum_{i=1}^n (w_{\lambda i} \times \rho_{\lambda i}) \quad (13)$$

$$w_{\lambda} = \frac{ESUN_{\lambda}}{\sum_{i=1}^n ESUN_{\lambda}} \quad (14)$$

$$\rho_{\lambda} = \frac{\pi L_{\lambda}}{ESUN_{\lambda} \times \cos\theta \times d_r} \quad (15)$$

که در آنها:

$L_{\lambda}$  تابش طیفی ( $W/m^2/sr/\mu m$ ).  $\theta$  زاویه میل خورشیدی،  $d_r$  معکوس فاصله نسبی زمین تا خورشید،  $w_{\lambda}$  ضریب وزنی برای هر باند،  $ESUN_{\lambda}$  پتانسیل تابش خورشید در هر باند ( $W/m^2/\mu m$ ) و  $\rho_{\lambda}$  ( $W/m^2/\mu m$ ) میزان انعکاس در هر باند سنجنده در سطح (بدون بعد) می‌باشد.

شاخص گیاهی NDVI وضعیت پوشش گیاهی در سطح زمین را مشخص می‌کند. NDVI با استفاده از رابطه ۷ برای تصاویر لندهست محاسبه می‌گردد (bastiansen و همکاران، ۲۰۰۲):

$$NDVI = \frac{\rho_4 - \rho_3}{\rho_4 + \rho_3} \quad (7)$$

که در آن:

$$\rho_4$$
 بازتاب طیفی باندهای ۳ و ۴ می‌باشد.

شاخص گیاهی NDVI بین  $-1$  تا  $+1$  متغیر می‌باشد.

زمین‌های شامل پوشش گیاهی متراکم دارای مقادیر مثبت  $3/0$  تا  $0/8$  هستند. برخلاف ابر، آب و برف طول موج بخش مرئی را بیشتر از طول موج مادون قرمز نزدیک انعکاس می‌دهند (bastiansen, ۲۰۰۰). بنابراین، این پدیده‌ها دارای شاخص‌های منفی هستند. صخره‌ها و مناطق خاکی بدون پوشش، در هر دو باند انعکاس مشابهی داشته و در نتیجه شاخص پوشش گیاهی آنها صفر خواهد بود.

در مناطق خشک و نیمه خشک تنک بودن

پوشش گیاهی باعث می‌شود اثرات بازتاب خاک زمینه، اثر بازتاب پوشش گیاهی را تحت تاثیر قرار دهد و بر آن غلبه کند. SAVI شاخص تصحیح شده NDVI است که اثرات زمینه و رطوبت خاک را در شاخص NDVI کاهش می‌دهد و از رابطه ۸ به دست می‌آید (bastiansen و همکاران، ۲۰۰۲):

$$SAVI = \frac{(1 + L)(\rho_4 - \rho_3)}{\rho_4 + \rho_3 + L} \quad (8)$$

که در آن:

$L$  فاکتور تصحیح اثرات خاک می‌باشد که دامنه آن صفر برای پوشش گیاهی متراکم تا ۱ برای پوشش گیاهی با تراکم کمتر متغیر است. مقدار  $L$  با استفاده از اطلاعات تصاویر و روابط ۹ و ۱۰ به دست می‌آید.

$$L = 1 - (2 \times a \times NDVI \times WDV) \quad (9)$$

$$WDVI = \rho_4 - \gamma \rho_3 \quad (10)$$

که در آن:

۷ ضریب خط خاک می‌باشد که در واقع شیب خط برآش داده شده بر نمودار طیفی باندهای مادون قرمز نزدیک (باند۴) و قرمز (باند۳) است (یانگ و همکاران،

1- Weighted (near infrared red)  
Difference Vegetation Index

$Z_2$  و  $r_{ah}$  مقاومت آنرودینامیکی برای انتقال گرمای  $(sec/m)$  می‌باشد.

چگالی هوا با توجه به نقشه ارتفاعی و دمای سطحی برای هر پیکسل محاسبه می‌گردد. این محاسبات تابعی از گرادیان دما، زبری سطح و سرعت باد می‌باشند. با این وجود حل رابطه ۱۸ به دلیل دو عامل ناشناخته  $dT$  و  $r_{ah}$  مشکل است. در الگوریتم سبال جهت برآورد شار گرمای محسوس، ابتدا دو پیکسل آستانه انتخاب می‌شود که از پیکسل‌ها که پیکسل سرد نامیده می‌شود مربوط به متغیرهای است که به طور کامل پوشیده از پوشش گیاهان آبیاری شده است و دمای سطح زمین در این پیکسل نزدیک دمای هوا می‌باشد. پیکسل دوم که پیکسل گرم نامیده می‌شود زمین کشاورزی بدون پوشش گیاهی و خشک می‌باشد که تبخیر و تعرق در آن صفر فرض می‌شود. در این تحقیق از NDVI و دمای سطحی تصحیح شده برای تعیین پیکسل سرد و گرم استفاده شد، به طوری که در پیکسل گرم NDVI حداقل و دمای سطحی حداقل بوده و در پیکسل سرد، NDVI حداقل و دما حداقل می‌باشد. در سبال برای به دست آوردن اختلاف دمای هوا نزدیک سطح ( $dT$ ) در هر پیکسل، ابتدا باید این پارامتر را برای پیکسل سرد و گرم به دست آورده و سپس با ایجاد رابطه خطی بین این دو پیکسل، می‌توان  $dT$  را برای سایر پیکسل‌ها به دست آورد. پس از آن مقدار شار گرمای محسوس بر اساس شرایط جوی و فرایند رفت و برگشتی تصحیح می‌گردد (باستیانسن و همکاران، ۱۹۹۸).

سپس تبخیر و تعرق بر اساس رابطه بیلان انرژی در لحظه گذر ماها را محاسبه می‌شود. این مقدار با استیضاح به تبخیر و تعرق روزانه تبدیل گردد. برای این منظور جزو تبخیری ( $ET_{rf}$ ) برای هر پیکسل تصویر از رابطه ۱۹ محاسبه می‌شود (باستیانسن و همکاران، ۲۰۰۲):

$$ET_{rf} = \frac{ET_{inst}}{ET_r} \quad (19)$$

$$ET_{inst} = 3600 \frac{\lambda ET}{\lambda} \quad (20)$$

که در آن‌ها:

اندازه گیری شار گرمای خاک ( $G$ ) به طور مستقیم با استفاده از سنجش از دور امکان‌پذیر نیست اما مطالعات بسیاری نشان دادند که بین مقدار  $\frac{G}{R_n}$  و پارامترهایی چون  $NDVI$ , دمای سطح ( $T_s$ ) و آلیدو رابطه‌ای وجود دارد. تخمین  $\frac{G}{R_n}$  برای دریاچه‌های عمیق و زلال پیچیده است. برای اویل تاستان که دریاچه خنکتر از هوا می‌باشد این مقدار کمتر می‌باشد. برای منابع کم گرم است این مقدار کمتر می‌باشد.  $\frac{G}{R_n}$  برای منابع عمق و کدر کمتر از  $0.05$  می‌باشد زیرا در نزدیکی سطح آب جذب طول موج کوتاه‌تر می‌باشد (باستیانسن، ۲۰۰۰).

در این تحقیق از رابطه زیر جهت برآورد مقدار شار گرمای خاک استفاده شده است (باستیانسن، ۲۰۰۰):

$$\frac{G}{R_n} = [(T_s - 273.16)/\alpha (0.0038\alpha + 0.0074\alpha^2) (1 - 0.98 NDVI^4)] \quad (16)$$

دمای سطحی با استفاده از باند حرارتی محاسبه شد (باستیانسن و همکاران، ۲۰۰۲):

$$T_s = \frac{K_2}{ln(\frac{\varepsilon_{NB} \times K_1}{R_c} + 1)} \quad (17)$$

که در آن:

$R_c$  تشعشعات حرارتی اصلاح شده با استفاده از تابش طیفی باند ۶ ( $W/m^2/sr/\mu m$ ).  $\varepsilon_{NB}$  گسیلنگی سطح جهت محاسبه دمای سطح (رابطه ۴) و  $K_1$  و  $K_2$  ضرایب ثابت برای تصاویر لندست ۵ ( $W/m^2/sr/\mu m$ ) می‌باشد که مقدار آنها به ترتیب  $607/76$  و  $1260/56$  می‌باشد (مارخام و بارکر، ۱۹۸۶).

مهم‌ترین و مشکل‌ترین قسمت در الگوریتم سبال محاسبه شار گرمای محسوس ( $H$ ) بر اساس انتقال گرمای است که مقدار آن از رابطه ۱۸ به دست می‌آید:

$$H = \frac{\rho C_p dT}{r_{ah}} \quad (18)$$

که در آن:

$\rho$  چگالی هوا ( $kg/m^3$ ),  $C_p$  گرمای ویژه هوا (۱۰۰۴)  $Z_1$  اختلاف دما ( $^{\circ}K$ ) بین دو ارتفاع  $dT$ ,  $J/kg/^{\circ}K$

که در آن:

$R_{s1}$  تابش طول موج کوتاه ورودی از اتمسفر،  $\tau_{sw}$  گسیلنده اتمسفر،  $\varphi_h$  پاسخ روزنه‌ها به دما،  $S_a$  شبیب منحنی فشار بخار،  $r_{av}$  مقاومت ظاهری سطح،  $\varepsilon_{max}$  مقاومت آنرودینامیکی در برایر انتقال بخار و  $\varepsilon_{max}$  حداکثر راندمان مصرف نور می‌باشد.

در این رابطه مقدار تابش طول موج کوتاه ورودی از اتمسفر در منطقه مورد مطالعه بین صفر تا ۷۲۲ مگا ژول بر متر مربع بر روز متغیر بود. حداکثر سرعت جذب نور ۴۰ کیلوگرم در هکتار در ساعت در نظر گرفته شد. مقدار NDVI در منطقه مورد مطالعه بین ۰/۲۸ تا ۰/۴۴ می‌باشد. مقدار  $r_{av}$  بین ۵۱ تا ۱۰۴ ثانیه بر متر در محدوده مورد مطالعه بود. مقدار آبیلدو در محدوده دشت بین ۰/۸۷ تا ۰/۹۹۹ متغیر بود. مقدار دمای سطح برگ در محدوده مورد مطالعه بین ۱۱ تا ۳۹ درجه سانتی گراد است. مقدار  $r_s$  از تقسیم کردن مقاومت روزنه‌ای برگ (ثانیه بر متر) بر شاخص سطح برگ به دست می‌آید که مقدار آن در محدوده مورد مطالعه بین ۴۰ تا ۹۳ بود و شبیب منحنی فشار بخار بین ۰/۱۱ تا ۰/۱۴۵ کیلوپاسکال بر درجه سانتی گراد در منطقه مورد مطالعه بود.

$ET_{inst}$  تبخیر و تعرق لحظه‌ای ( $mm/hr$ ),  $\lambda$  گرمای نهان تبخیر ( $J/kg$ ),  $\lambda ET$  مقدار لحظه‌ای شار گرمای نهان تبخیر در لحظه عبور ماهواره ( $W/m^2$ ),  $ET_r$  تبخیر و تعرق گیاه مرجع ( $mm/hr$ ) و ۳۶۰۰ برای تبدیل ثانیه به ساعت می‌باشد.

با فرض اینکه جزء تبخیر لحظه‌ای محاسبه شده برابر با میانگین روزانه باشد، می‌توان با استفاده از رابطه ۲۱ تبخیر و تعرق روزانه را محاسبه نمود (bastianen و همکاران، ۲۰۰۲):

$$ET_{24} = ET_{rf} \times ET_{r-24} \quad (21)$$

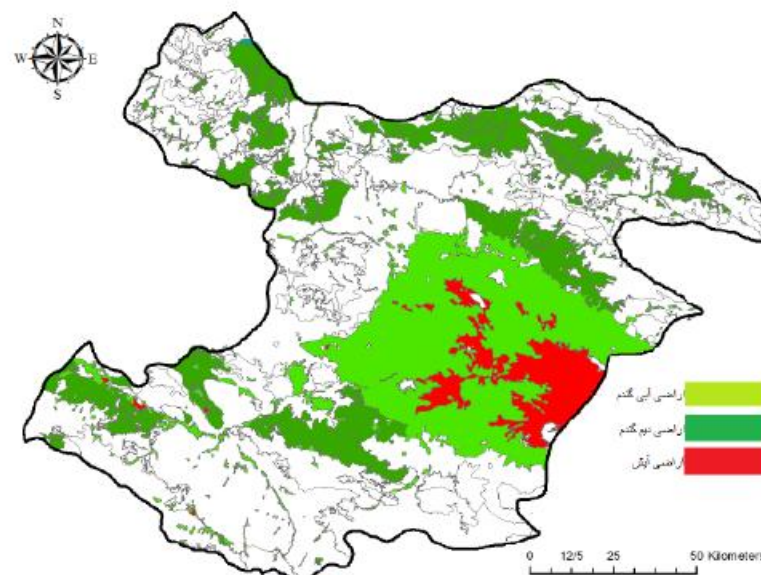
که در آن:

$$ET_{24} \text{ تبخیر و تعرق روزانه } (mm/day) \text{ می‌باشد.}$$

#### ماده خشک تولیدی

با مشاهدات مزروعاتی و استفاده از تصاویر ماهواره نقشه الگری کشت گندم استخراج گردید (شکل ۲). بر اساس شادابی گیاه و تأثیر مستقیم آن بر مقدار NDVI مقدار ماده خشک قابل مشاهده بر روی سطح زمین از رابطه ۲۲ به دست می‌آید (bastianen و سامیا، ۲۰۰۳).

$$\begin{aligned} Biomass_{Dry} &= 0.48 \times R_{s1} \times \tau_{sw} \\ &\times (-0.161 + 1.257 \times NDVI) \times \varepsilon_{max} \quad (22) \\ &\times \varphi_h \times \frac{S_a + 0.67 + \left(1 + \frac{r_{smin}}{r_{av}}\right)}{S_a + 0.67 + \left(1 + \frac{r_s}{r_{av}}\right)} \end{aligned}$$



شکل ۲ الگوی کشت گندم در دشت قزوین

محاسبه شده با لایسیمتر در ماه مورد نظر ( $i$ ) (میلی متر بر روز) و  $n$  تعداد داده های تبخیر و تعرق می باشد.

$$R = \frac{\sum_{i=1}^n ET_{LYSIMETER,i} ET_{SEBAL,i} - n ET_{LYSIMETER} ET_{SEBAL}}{\sqrt{(\sum_{i=1}^n ET_{LYSIMETER,i}^2 - n \times ET_{LYSIMETER}^2)(\sum_{i=1}^n ET_{LYSIMETER,i}^2 - n \times ET_{LYSIMETER}^2)}} \quad (26)$$

که در آن:

$ET_{SEBAL}$  تبخیر و تعرق محاسبه شده با الگوریتم سبال (میلی متر بر روز)،  $ET_{LYSIMETER}$  تبخیر و تعرق محاسبه شده با لایسیمتر (میلی متر بر روز)،  $ET_{SEBAL,i}$  تبخیر و تعرق محاسبه شده با الگوریتم سبال در ماه مورد نظر ( $i$ ) (میلی متر بر روز)،  $ET_{LYSIMETER,i}$  تبخیر و تعرق (میلی متر بر روز)،  $\bar{ET}_{SEBAL}$  میانگین داده های تبخیر و تعرق محاسبه شده با الگوریتم سبال (میلی متر بر روز)،  $\bar{ET}_{LYSIMETER}$  میانگین داده های تبخیر و تعرق محاسبه شده با لایسیمتر (میلی متر بر روز).

بنابراین بطور خلاصه می توان تفکیک گیاهان مختلف در تصاویر RS و برآورد میزان ET و بیوماس به اینصورت می باشد که پس از تهیه داده ماهواره ای، ابتدا

مقایسه تبخیر و تعرق سبال با مقادیر لایسیمتر به منظور یافتن دقت الگوریتم سبال ناشی به دست آمده با داده های لایسیمتر مورد مقایسه قرار گرفت. برای این منظور از پارامترهای تفاضل مطلق<sup>۱</sup> ( $AD$ )، تفاضل نسبی<sup>۲</sup> ( $RD$ )، میانگین تفاضل مطلق<sup>۳</sup> ( $MAD$ ) (روابط ۲۳ تا ۲۵) و ضریب تعیین<sup>۴</sup> ( $R$ ) (رابطه ۲۶) استفاده شد:

$$AD = |ET_{SEBAL} - ET_{LYSIMETER}| \quad (23)$$

$$RD = \frac{|ET_{SEBAL} - ET_{LYSIMETER}|}{ET_{LYSIMETER}} \quad (24)$$

$$MAD = \frac{\sum_{i=1}^n |ET_{SEBAL,i} - ET_{LYSIMETER,i}|}{n} \quad (25)$$

که در آنها:

$ET_{SEBAL}$  تبخیر و تعرق محاسبه شده با الگوریتم سبال (میلی متر بر روز)،  $ET_{LYSIMETER}$  تبخیر و تعرق محاسبه شده با لایسیمتر (میلی متر بر روز)،  $ET_{SEBAL,i}$  تبخیر و تعرق محاسبه شده با الگوریتم سبال در ماه مورد نظر ( $i$ ) (میلی متر بر روز)،  $ET_{LYSIMETER,i}$  تبخیر و تعرق

1- Absolute Difference

2- Relative Difference

3- Mean Absolute Difference

4- Determination coefficient

می‌کند. این موضوع به این معنی است که در  $L$  های کوچک اثرات خاک خود را بیشتر در منطقه نشان می‌دهد و به این دلیل انحراف معیار در SAVI حاصل از مقادیر  $L = 1$  به حداقل رسیده که با توجه به اقلیم نیمه خشک منطقه مقادیر بهینه  $L$  در حد یک برآورد می‌گردد (باستیانس و همکاران، ۲۰۰۲). از سوی دیگر با زیاد شدن  $L$  مقدار SAVI کاهش یافت. به نحوی که در  $L$  های بزرگ و در خاکهای تیره یا پوشش‌های گیاهی بسیار اندک، LAI مفهوم فیزیکی خود را از دست داده و منفی می‌گردد که در محاسبات صفر مظور گردید. در واقع با این روش می‌توان نقاطی را که دارای پوشش گیاهی هستند را مشخص نمود. جدول ۱ آماره‌های مربوط به شاخص SAVI را در سطح منطقه نشان می‌دهد. مقدار میانگین SAVI در ۹۲/۰۴/۰۱ و ۹۲/۰۴/۰۱ می‌باشد که نسبت به تاریخ‌های دیگر بیشتر بود. دلیل آن وجود همزمان محصولات پاییزه، بهاره و مرانع می‌باشد و در تاریخ ۹۲/۰۴/۰۱ به دلیل ایکده محصولات پاییزه برداشت می‌شود. میانگین SAVI دشت کاهش می‌یابد. در تاریخ ۹۲/۰۵/۰۶ به دلیل به حداقل رسیدن تراکم کشت محصولات بهاره میانگین شاخص SAVI افزایش می‌یابد. در تاریخ ۹۲/۰۲/۳۰ و ۹۲/۰۳/۰۷ میانگین SAVI در دشت افزایش یافت که نشان دهنده رشد گیاهان بهاره و پاییزه می‌باشد.

تصویح هندسی با میانگین خطای مربعات ۰/۶۵ برس روی تصویر اعمال گردید. در مرحله بعد با توجه به کوهستانی بردن منطقه تصویح توبوگرافی بر روی تصویر انجام شد. در نهایت نقشه کاربری و پوشش اراضی با استفاده از روش طبقه‌بندی ترکیبی تهیه گردید. در این مطالعه نقشه درصد تاج پوشش گیاهی با استفاده از شاخص گیاهی SAVI و نمونه برداری‌های میدانی بدست آمد. نقشه هر کاربری و پوشش منطقه با اعمال پردازش‌های گوناگون بر روی تصویر تهیه گردید. در انتها با استفاده از روش‌های GIS تمامی لایه‌های اطلاعاتی با یکدیگر ترکیب و نقشه کاربری و پوشش اراضی منطقه تهیه شد. دقت نقشه تولیدی محاسبه گردید و ضریب کاپا معادل ۰/۹۲ و صحت کلی ۹۴٪ بدست آمد که دقت مناسب نقشه تولیدی را نشان می‌داد.

## نتایج و بحث

در این تحقیق، از شاخص SAVI برای کم کردن اثرات خاک در NDVI استفاده شد. بدین مظور برای هر پنج تصویر انتخابی مقدار SAVI با استفاده از مقادیر  $L$  از ۰ تا ۱ محاسبه گردید. هر چقدر مقدار انحراف معیار کمتر باشد یعنی مقدار SAVI به مقدار ثابتی می‌رسد که نشان از حداقل شدن اثر خاک دارد. نتایج نشان داد به ازاء  $L$  های کوچکتر، انحراف از معیار بزرگتر بوده و در  $L$  های بزرگ به سمت مقدار ثابتی میل

جدول ۱ آمار SAVI در محدوده مورد مطالعه

تاریخ	حداقل	حداکثر	میانگین	میانگین	مده	میانگین
۹۲/۰۲/۳۰	-۰/۰۰۸	.۰/۶۱	.۰/۱۶۱	.۰/۱۴۰	۰/۱۲۸	
۹۲/۰۳/۰۷	-۰/۰۱۱	.۰/۶۵	.۰/۱۶۷	.۰/۱۴۶	۰/۱۲۵	
۹۲/۰۴/۰۱	-۰/۰۱۶	.۰/۶۸	.۰/۱۷۵	.۰/۱۵۰	۰/۱۳۷	
۹۲/۰۴/۲۰	-۰/۰۵۵	.۰/۶۹	.۰/۱۶۱	.۰/۱۴۰	۰/۱۲۰	
۹۲/۰۵/۰۶	-۰/۰۴۳	.۰/۶۸	.۰/۱۷۱	.۰/۱۵۰	۰/۱۲۸	

هر پنج تصویر دیده می‌شود. میانگین، میانه و مده آبیاری سطحی در هر پنج تصویر در محدوده ۰/۲۶۸ تا ۰/۲۸۱ قرار دارد که در دامنه قابل قبول برای مزارع کشاورزی و مرانع می‌باشد (هوریگوچی، ۱۹۹۲).

جدول ۲ آماره‌های مربوط به آبیاری سطحی محدوده مورد مطالعه را در تاریخ‌های مورد نظر نشان می‌دهد. مقادیر حداکثر و حداقل آبیاری به ترتیب مربوط به خاک لخت و کوه‌ها در منطقه مورد مطالعه می‌باشد که در

جدول ۲ آمار آبیدو سطحی در محدوده مورد مطالعه

تاریخ	حداقل	حداکثر	میانگین	میانه	مد
۹۲/۰۲/۳۰	-۰/۱۳	-۰/۴۷	-۰/۲۷۱	-۰/۲۶۹	-۰/۲۷۱
۹۲/۰۳/۰۷	-۰/۱۰	-۰/۴۸	-۰/۲۷۳	-۰/۲۷۱	-۰/۲۶۸
۹۲/۰۴/۱	-۰/۸	-۰/۵۱	-۰/۲۸۱	-۰/۲۸۳	-۰/۲۸۳
۹۲/۰۴/۲۰	-۰/۰۵	-۰/۵۱	-۰/۲۷۷	-۰/۲۷۵	-۰/۲۷۰
۹۲/۰۵/۰۶	-۰/۰۳	-۰/۵۳	-۰/۲۷۷	-۰/۲۷۷	-۰/۲۷۹

درجه کلوین کمترین و در تاریخ ۹۲/۰۴/۲۰ با میانگین دمای سطحی  $30.5/3$  درجه کلوین ییشترين دمای سطح را دارند که اين روند با دمای هوا در منطقه مطابقت داشت.

جدول ۳ آمارهای مربوط به دمای سطح محدوده مورد مطالعه را در تاریخ های مورد نظر نشان می دهد. تاریخ ۹۲/۰۲/۳۰ با میانگین دمای سطحی  $28.5/3$

جدول ۳ آمار دمای سطحی محاسبه شده ( $K^{\circ}$ ) در محدوده مورد مطالعه

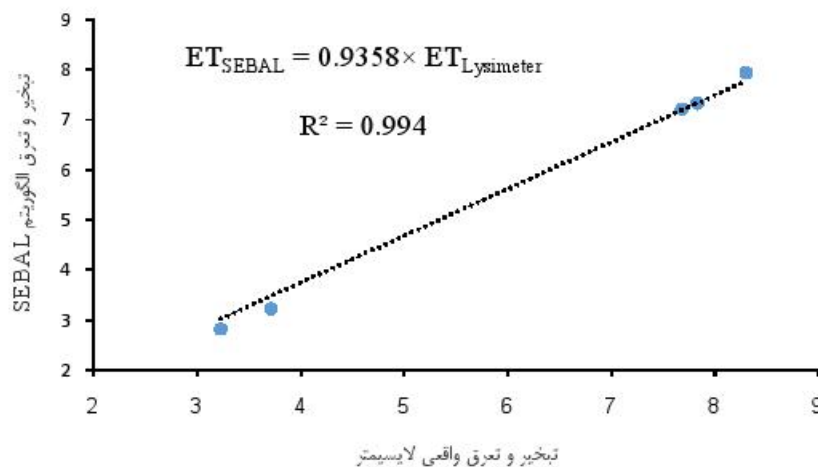
تاریخ	حداقل	حداکثر	میانگین	میانه	مد
۹۲/۰۲/۳۰	۲۸۲/۹	۲۹۸/۲	۲۸۵/۳	۲۸۵/۲	۲۷۵/۷
۹۲/۰۳/۰۷	۲۸۸/۰	۳۰۴/۸	۲۹۳/۷	۲۹۴/۳	۲۹۵/۳
۹۲/۰۴/۱	۲۸۹/۷	۳۱۵/۲	۳۰۱/۳	۳۰۰/۳	۳۰۱/۴
۹۲/۰۴/۲۰	۲۸۸/۲	۳۱۸/۷	۳۰۴/۵	۳۰۵/۵	۳۰۴/۳
۹۲/۰۵/۰۶	۲۸۸/۱	۳۱۲/۳	۲۹۹/۴	۳۰۰/۳	۲۹۷/۱

لایسیمتر بیشتر از مقدار محاسبه شده توسط الگوریتم سیال است (شکل ۳). دلیل این امر می تواند شرایط استاندارد لایسیمتر (عدم وجود تنش شوری، آبی و آفات و عوامل بیماری زا) جهت تبخیر و تعرق باشد که این امکان برای مناطق همچوار وجود ندارد. بنابراین با توجه به اینکه اندازه پیکسل ها نسبت به لایسیمتر بزرگتر بوده و زمان و مقدار آبیاری در مزارع همچوار با آبیاری در لایسیمتر همانگ نمی باشد، برآورد کمتر توسط الگوریتم سیال قابل توجه می باشد.

مقادیر تبخیر و تعرق اندازه گیری شده گیاه گندم توسط لایسیمتر با مقادیر برآورده شده توسط الگوریتم سیال مورد مقایسه قرار گرفت (جدول ۴). تفاوت بین تبخیر و تعرق محاسبه شده با الگوریتم سیال و اندازه گیری شده توسط لایسیمتر کمتر از  $0.051$  میلی متر بر روز و بیشترین تفاوت مربوط به روز  $۹۲/۰۳/۰۷$  با  $۱۲/۹۳$  درصد بود. همچنین، میانگین تفاضل مطلق (MAD) بین نتایج الگوریتم سیال و لایسیمتر  $0.446$  میلی متر بر روز می باشد. همچنین مقدار تبخیر و تعرق به دست آمده توسط

جدول ۴ تبخیر و تعرق واقعی روزانه در مزرعه گندم با استفاده از روش لایسیمتر و مقادیر تخمین زده بوسیله الگوریتم سیال

تاریخ	لایسیمتر ( $mm/day$ )	الگوریتم سیال ( $mm/day$ )	تفاضل مطلق ( $mm/day$ )	تفاضل نسبی (%)	میانگین تفاضل مطلق ( $mm/day$ )
۹۲/۰۴/۰۶	۳/۲۳	۲/۸۲	-۰/۴۱	-۱۲/۷۰	۱۲/۷۰
	۳/۷۱	۲/۲۳	-۰/۴۸	-۱۲/۹۳	۱۲/۹۳
	۷/۸۳	۷/۳۲	-۰/۵۱	-۶/۵۱	۶/۵۱
	۷/۶۸	۷/۲۲	-۰/۴۶	-۵/۹۸	۵/۹۸
	۸/۳	۷/۹۳	-۰/۳۷	-۴/۴۵	۴/۴۵



شکل ۲- ارتباط مقادیر تبخیر و تعرق واقعی روزانه (میلی‌متر بر روز) حاصل از الگوریتم سیال و لایسیمتر

محصولات بهاره و پاییزه به حداقل مقدار خود می‌رسد. این تراکم پوشش گیاهی باعث بیشتر شدن تبخیر و تعرق حقیقی در سطح دشت و اختلاف بیشتر با تبخیر و تعرق پتانسیل می‌گردد. با توجه به جدول ۵، میانگین تفاضل مطلق (MAD) بین تبخیر و تعرق الگوریتم سیال و تبخیر و تعرق پتانسیل پنمن-مانیتیث-فائز ۰/۵۰۲ میلی‌متر بر روز می‌باشد که با نتایج راموس و همکاران (۲۰۰۹) همخوانی دارد.

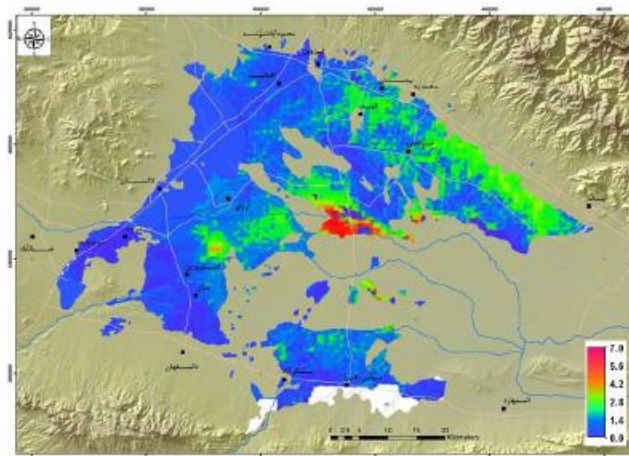
در سطح منطقه وسیله اندازه‌گیری تبخیر و تعرق وجود ندارد. لذا جهت ارزیابی الگوریتم سیال در سطح منطقه، نتایج حداقل تبخیر و تعرق محاسبه شده با الگوریتم سیال در هر روز با تبخیر و تعرق پتانسیل گیاه مرجع به دست آمده از روش پنمن-مانیتیث-فائز مورد مقایسه قرار گرفت (جدول ۵). نتایج نشان داد که بیشترین تفاوت بین این مقادیر مربوط به تاریخ ۹۲/۰۴/۰۱ با ۱۱/۱۰ درصد می‌باشد. دلیل این تفاوت می‌تواند این باشد که در این روز تراکم پوشش گیاهی به دلیل وجود همزمان

جدول ۵ تبخیر و تعرق پتانسیل با استفاده از روش پنمن مانیتیث فائز و حداقل مقادیر تخمین زده شده بوسیله الگوریتم سیال برای محدوده مورد مطالعه

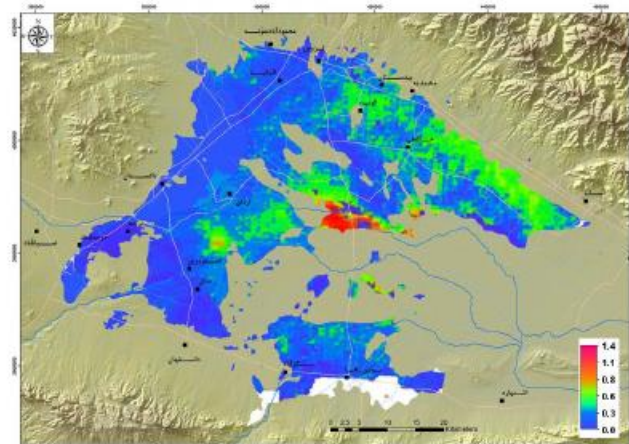
میانگین تفاضل مطلق (mm/day)	تفاضل نسبی (%)	تفاضل مطلق (mm/day)	الگوریتم سیال (mm/day)	پنمن-مانیتیث-فائز (mm/day)	تاریخ
۰/۵۰۲	۵/۱۰	۰/۲۱	۴/۳۲	۴/۱۱	۹۲/۰۲/۲۰
	۶/۵۳	۰/۲۹	۴/۷۳	۴/۴۴	۹۲/۰۲/۰۷
	۱۱/۱۰	۰/۹۱	۹/۱۱	۸/۲۰	۹۲/۰۴/۰۱
	۸/۰۲	۰/۶۵	۸/۷۵	۸/۱۰	۹۲/۰۴/۰۰
	۵/۳۰	۰/۴۵	۸/۹۵	۸/۰۵	۹۲/۰۵/۰۶

لندست به طور متوسط ۰/۷۳ کیلوگرم بر مترمکعب به دست آمد. بهره‌وری آب به دست آمده از لایسیمتر گندم ۰/۸۵ کیلوگرم بر مترمکعب می‌باشد که نتایج به دست آمده از تصاویر ماهواره را تأیید می‌کند.

در نهایت از تقسیم مقدار ماده خشک تولیدی بر تبخیر و تعرق واقعی (شکل ۴) بهره‌وری آب در سطح دشت حاصل می‌شود (شکل ۵). مقادیر محاسبه شده در سطح دشت از ۰/۱۸ تا ۱/۳۵ کیلوگرم بر مترمکعب متغیر است. میزان بهره‌وری آب برای گندم در دشت با تصاویر



شکل ۴ تبخیر و تعرق روزانه گندم در دشت قزوین در تاریخ ۹۲/۰۲/۳۰



شکل ۵ شاخص بهره‌وری آب گندم (kg/m³) در دشت قزوین در تاریخ ۹۲/۰۲/۳۰

#### نتیجه گیری

مختلف اقلیمی مورد استفاده قرار گیرد. نتایج بیانگر این است که بیشترین بهره‌وری آب در بخش‌های میانی و شمالی دشت وجود دارد. دامنه تغییرات بهره‌وری آب در سطح دشت بین ۰/۱۸ تا ۱/۳۵ کیلوگرم بر مترمکعب بود. این دامنه وسیع بهره‌وری آب، نیاز به برنامه‌ریزی و مدیریت برای افزایش کارایی مصرف آب و تولیدات کشاورزی را نشان می‌دهد.

تصاویر ماهواره‌ای به عنوان ابزاری نوین و فراگیر امروزی جهت مدیریت آب و خاک در مقیاس بزرگ در این تحقیق مورد استفاده قرار گرفت. نتایج واسنجی و صحت سنجی الگوریتم سیال نشان داد که این مدل توانایی بالایی در برآورد تبخیر و تعرق و بهره‌وری آب در منطقه مورد مطالعه داشته و از این رو می‌تواند با دقت مطلوبی در برنامه‌ریزی مدیریت آبیاری در شرایط

## فهرست منابع

۱. اسفندیارپور، ا. سایت خبرگزاری ایرنا. ۱۳۹۳. (<http://www8.irna.ir/fa/News/81458438>)
۲. حیدری، ن.، اسلامی، ا.، قدموی فیروز آبادی، ع.، کانوئی، ا.، اسدی، م. و خواجه عبدالهی، م.ح. ۱۳۸۴. تعیین کارایی مصرف آب محصولات زراعی مختلف کشور (کرمان، همدان، مغان، گلستان، خوزستان)، موسسه تحقیقات فنی و مهندسی کشاورزی.
3. Allen, R. Morse, A. Tasumi, M. 2003. Application of SEBAL for western US water rights regulation and planning. ICID workshop on remote sensing of ET for large regions.
4. Allen, R.G., Tasumi, M., Trezza, R., Bastiaanssen, W., Morse, T., Kramber, W., and Wright, J. 2005. METRIC, T., High Resolution Satellite Quantification of Evapotranspiration. Part Two- Energy Balance, University of Idaho, Kimberly, Idaho.
5. Bastiaanssen W.G.M. 2000. SEBAL- based sensible and latent heat fluxes in the irrigated Gediz basin, Turkey. Journal of Hydrology, 229: 87-100.
6. Bastiaanssen W.G.M., Allen, R., Tasumi, M., Trezza, R., and Waters, R. 2002. SEBAL: Surface Energy Balance Algorithms for Land. Advance Training and Users manual Version 1.0. 98 pp.
7. Bastiaanssen W.G.M., R.A. Feddes, A.A.M. Holtslag, M. Menenti. 1998. A remote sensing surfaceenergy balance algorithm for land (SEBAL) 1. Formulation. J. Hydrol., 212-213: 198-212.
8. Bastiaanssen W.G.M., Samia. 2003. A new crop yield forecasting model base of satellite measurements applied across the Indus Basin, Pakistan, Agriculture Ecosystems and Environment Volum: (94) pp: 321-340.
9. Horiguchi, I. 1992. Agricultural Meteorology. Buneidou, Tokyo, Japan.
10. Li Hongium, Li Zheng, Yuping Lei, Chunqiang Li, Zhijun Liu, Shengwei Zhang, 2008, Estimation of water consumption and crop water productivity of winter wheat in north china plain using remote sensing technology. Agric Water Manag. Doi:10.1016/J.agwat.2008.05.003.
11. Markham, B.L. and Barker, J.L. 1986. LANSAT MSS and TM post-calibration dynamic ranges, exoatmosphericreflectances and at-satellite temperatures, EOSAT LANDSAT Tech. Notes (Aug.): 3-8.
12. Molden, D., 1997. Accounting for water use and productivity. SWIM Paper 1. International Irrigation Management Institute, Colombo, Sri Lanka.
13. Ramos, J. G., Cratchley, C.R., Kay, J.A., Casterad, M.A., Martinez-cob, A. and Dominguez, R. 2009. Evaluation of satellite evapotranspiration estimates using ground-meteorological data available for the Flumen District into the Ebro valley of N.E. Spain. Agricultural Water Management, 96 (2009), 638-652.
14. Singh, R. 2005. Water productivity analysis from field to regional scale: Integration of crop and soil modeling, remote sensing, and geographical information. Ph.D. Dissertation, Wageningen Univ., Wageningen,The Netherlands.
15. Vazifedoust, M., Van Dam, J.C., Feddes, R.A. and Feizi, M. 2008. Increasing Water Productivity of Irrigated crops under limited water supply at field scale. Agri. Water Manag. Vol 95, 89-102.
16. Zwart, S.J., Bastiaanssen, W.G.M., 2004. Review of measured crop water productivity values for irrigated wheat, rice, cotton and maize, Agricultural water management, Vol. 69, 115-133.

18. Yang, W., Shabanov, N.V., Huang, D., Wang, W., Dickinson, R.E., Nemani, R.R., Knvazikin, Y., and Myneni, R.B. 2006. Analysis of Leaf Area Index products from combination of MODIS Terra and Aqua data. *Remote Sensing of Environment*, 104: 297-312.